SISTEMAS ESTRUTURAIS MISTOS PARA EDIFICAÇÕES COMERCIAIS E RESIDENCIAIS

Dr. Pedro C. G. S. Vellasco, MSc; PhD; DIC. Professor Adjunto, Instituto Politécnico, Universidade do Estado do Rio de Janeiro, UERJ, Brasil

Prof. Roger E. Hobbs, PhD; DIC; FIStructE.

Professor of Structural Engineering, Head of Civil Engineering Department, Imperial College of Science Technology and Medicine, University of London, U. K.

1. INTRODUÇÃO

2. SISTEMAS ESTRUTURAIS MISTOS PARA GRANDES VÃOS

3. VIGAS MISTAS COM
INÉRCIA VARIÁVEL
("COMPOSITE TAPERED BEAMS")

4. FLAMBAGEM DE ALMA EM VIGAS MISTAS COM INÉRCIA VARIÁVEL

5. EXEMPLO

6. CONCLUSÕES

1. INTRODUÇÃO

Sistemas Mistos Convencionais:

- → Vãos de 6 a 9 Metros
- → Interação Total
- → Vigas Secundárias Mesmo Plano/Sobre Principais

Vãos Maiores?

Flexibilidade do Aproveitamento do Espaço

Novos Sistemas Mistos Eficientes e Econômicos

Adequação Vantagens e Desvantagens

"Composite Tapered Beam"

Metodologia de Solução → Problemas

Exemplo de Dimensionamento

2. SISTEMAS ESTRUTURAIS MISTOS PARA GRANDES VÃOS

Melhores Trabalhos → Owens
Principais Conclusões → Tabela 1

- Os Vãos, Espaçamentos → Econômicos e Práticos
- A Razão Vão Livre/Altura Total do Pavimento

 $V\tilde{a}os \rightarrow 15 Metros$

Folga: \rightarrow 130mm \rightarrow Laje Mista

→ 75mm → Acomodação de Instalações

Limite Superior \rightarrow **Economia Estrutural**

Limite Inferior → Restrição de Ordem Prática

- Área Máxima para Acomodação de Serviços Soma das Áreas para Instalações em Geral Uma Altura Mínima de 300mm Aberturas Máximas → < 60% Altura
- As Densidades de Aço por Área de Pavimento

Padrão \rightarrow 15 Metros

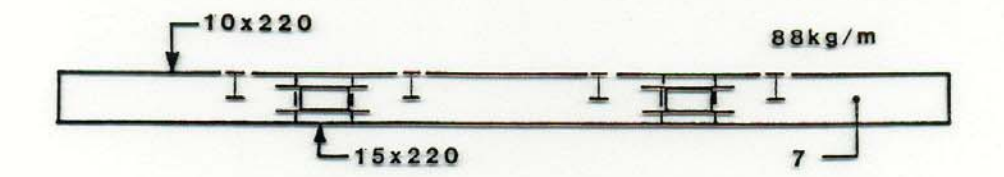
Sobrecarga \rightarrow 4kPa

Carga Permanente \rightarrow 1.3kPa

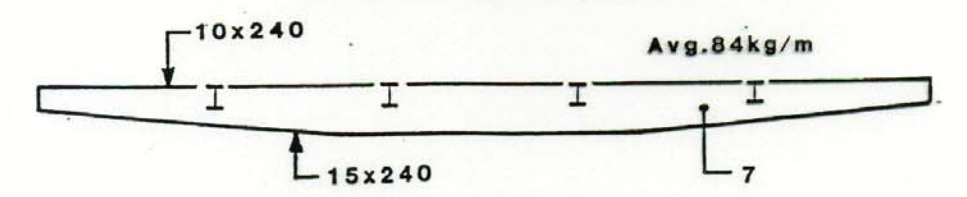
Vigas Secundárias \rightarrow Vãos: 3 A 9 Metros

Sensibilidade $\rightarrow 20 \text{ A } 30\%$

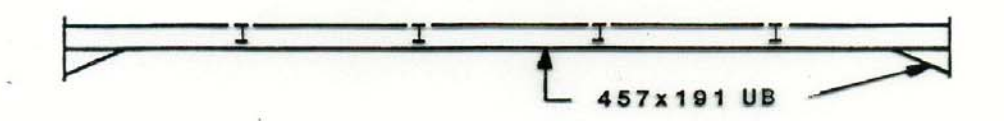




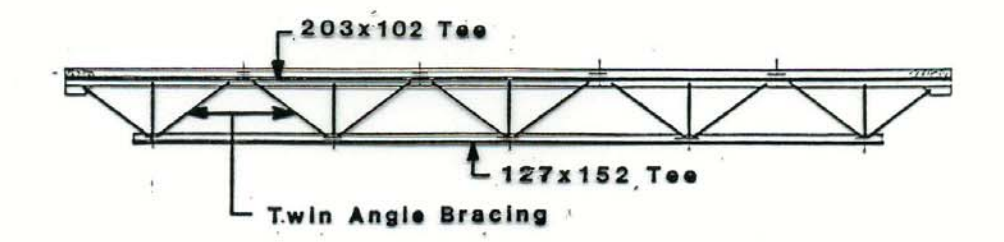
Vigas Soldadas Leves (Light Plate Girders)



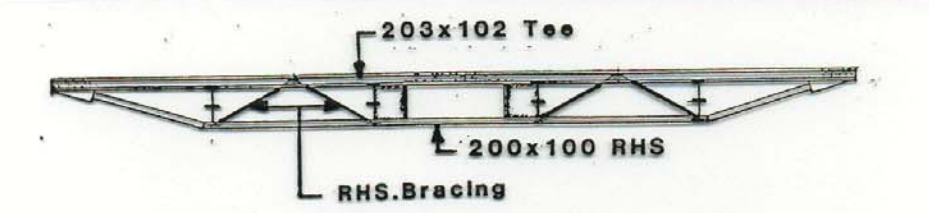
Vigas com Inércia Variável (Tapered Beams)



Vigas Misuladas (Haunched Beams)



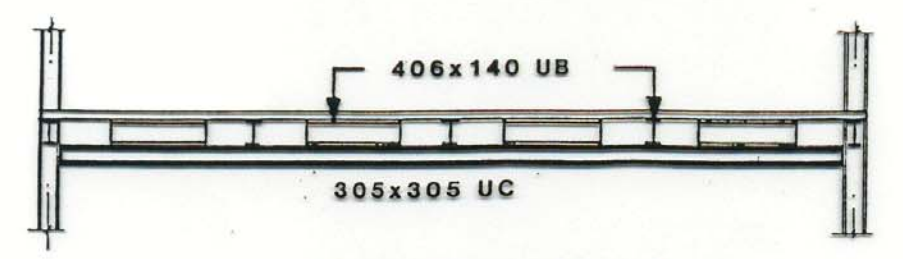
Treliça Tipo 1



Treliça Tipo 2

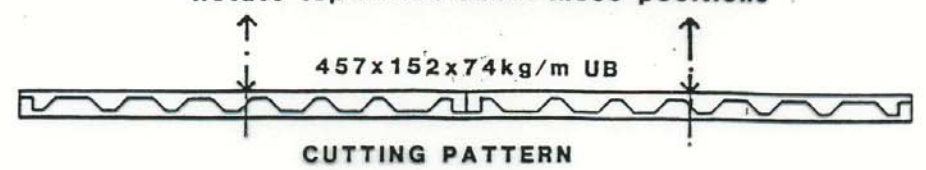


Stub-Giders Tipo 1



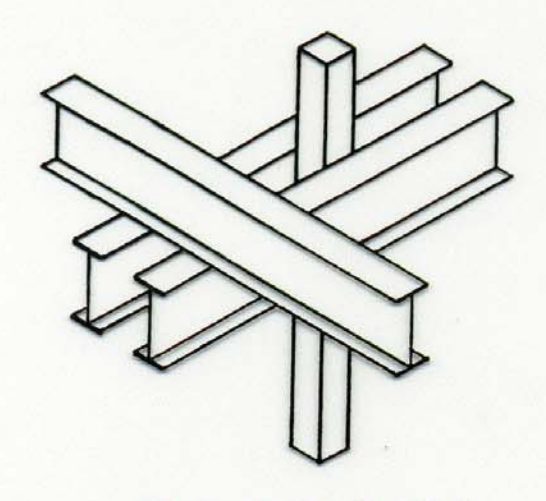
Stub-Giders Tipo 2

Rotate top halves about these positions





Vigas Alveoladas (Castelated Beams)



F

Sistema de Grelhas (Dual Plane Grillage)



Vigas de Aba Larga (U.B.) Recortadas e Reforçadas nos Apoios

Esquema Estrutural	Vãos Típicos da Estrutura Principal	Espaçamento Típico das Vigas Principais	Razão Vão/Altura Total do Pavimento	Contribuição para Resistência à Cargas Laterais	Área Máxima para Acomodação de Serviços	Flexibilidade ao Longo do Vão para Acomodação de Serviços	Facilidade de Manutenção e Troca de Serviços	Densidade de Aço por Área do Pavimento (padrão com 15 m de vão)	Custo Estimado de Fabricação e Montagem	Provável Economia com Automação Pequena Pequena Média	
Vigas Soldadas Leves (Light Plate Girders)	acima de 12 metros	entre 3 e 7.5 metros	15 19	Possivel	2.3 m ² 1.8 m ²	Boa	Ruim	23	1.25		
Vigas com Inércia Variável (Tapered Beams)	acima de 12 metros	entre 3 e 7.5 metros	14 19	Nenhuma	1.9 m ² 0.9 m ²	Somente Perto do Alinhamento das Colunas	Boa	21	1.15		
Vigas Misuladas (Haunched Beams)	acima de 12 metros	entre 3 e 7.5 metros	16 19	Boa	5.3 m ² 3.6 m ²	Fora do Alinhamento das Colunas	Excelente	24	1.25		
Treliças	acima de 15 metros	entre 3 e 7.5 metros	11.5 15	Possível Possível	1.5 m ² 1.5 m ²	Somente no Centro do Vão	Razoável	de 20 a 31	1.55	Alta	
Stub-Giders Tipo 1	de 10 a 15 metros	entre 8 e 12 metros	12 14	Possível	3.0 m ² 2.5 m ²	Boa	Boa	33	1.3	Alta	
Stub-Giders Tipo 2	de 10 a 15 metros	entre 8 e 12 metros	12 14	Possível	3.5 m ² 3.0 m ²	Boa	Boa	34	1.35	Alta	
Vigas Alveoladas (Castelated Beams)	até 16 metros	até 3.6 metros	17 18	Possível	1.5 m ² 1.3 m ²	Sobre o Terço Central do Vão	Razoável	28	1.3	Média/Alta	
Sistema de Grelhas (Dual Plane Grillage)	até 9 metros	até 15 metros	13 15	Desconhecido	5.0 m ² 4.8 m ²	Excelente	Excelente	33	0.95	Pequena Média	
Vigas de Aba Larga (U.B.) Recortadas e Reforçadas nos Apoios	até 16 metros	entre 3 e 7.5 metros	16 19	Nenhuma	1.2 m ² 0.9 m ²	Somente Perto do Alinhamento das Colunas	Boa	29	1.3		
Vigas de Aba Larga (U.B.) com Aberturas	até 16 metros	entre 3 e 7.5 metros	17 20	Possível	2.0 m ² 1.5 m ²	Boa	Ruim	29	1.25	Média	
Vigas de Aba Larga (U.B.) com Região de Serviços em Separado	com Região de 16 metros 75 metros 15 Possível		Possível	6.0 m ² 4.5 m ²	Excelente	Excelente	29	1.0	Pequena		

Tabela 1 - Sistemas Mistos para Edificações Comerciais e Residenciais. (Após [OWEN86]).

Destacam-se:

Soluções com a Inércia Variando ao Longo do Vão "Haunched And Tapered Beams"

Boa Flexibilidade para Acomodação de Serviços

Pequenas Razões Vão/Altura do Pavimento

Baixas Densidades de Aço por Área de Pavimento

Menores Custos Finais de Fabricação e Montagem

3. VIGAS MISTAS COM INÉRCIA VARIÁVEL "COMPOSITE TAPERED BEAMS"

Mudança de Concepção

→ Flexibilidade de Espaços Úteis e Serviços

Vigas Mistas Associadas a Deck-Metálicos

→ Vãos de 6 a 7.5 Metros

Flexibilidade → Vãos Maiores que 7.5 Metros → Sem Colunas Intermediárias

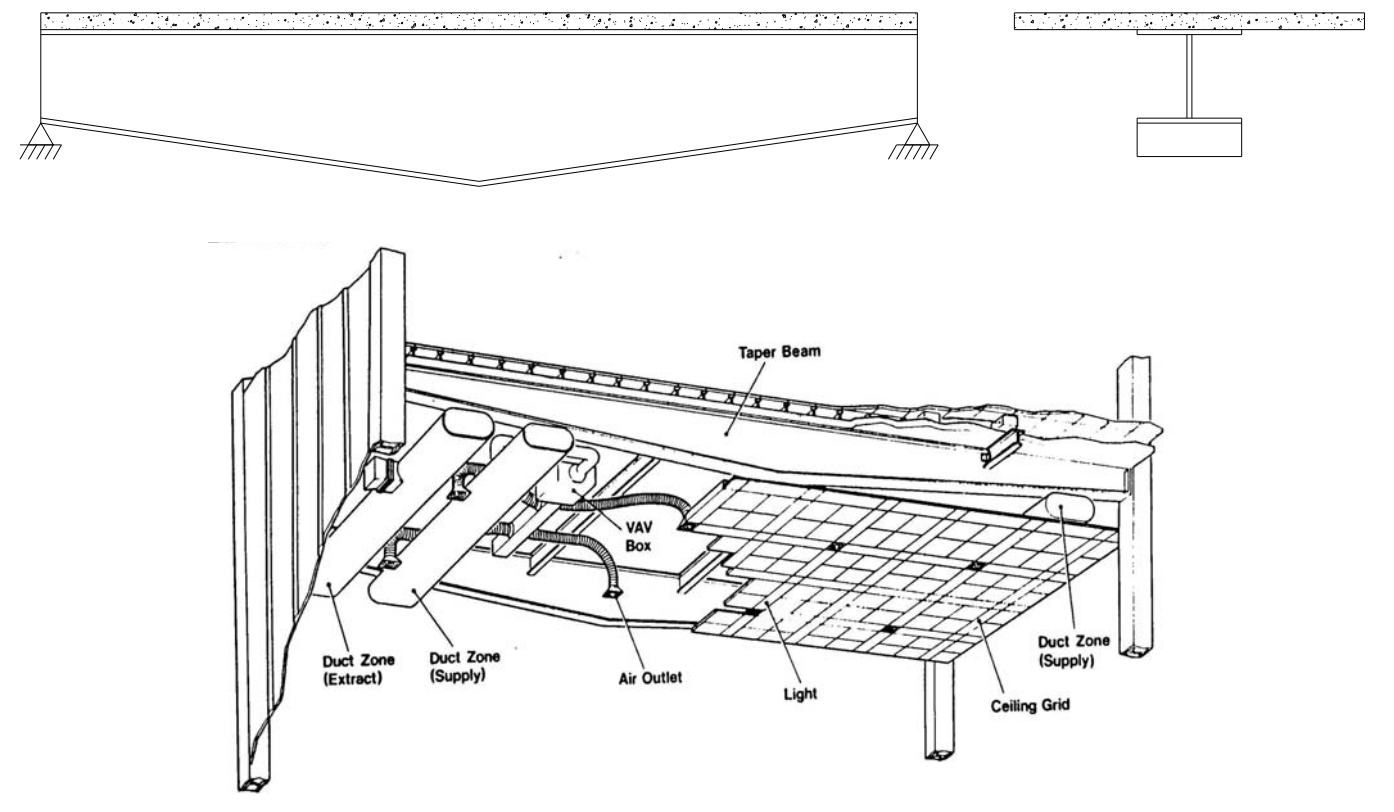
Vãos Maiores → Vigas Mais Altas

Altura do Edifício 7

→ Alvenarias, Instalações e Acabamentos 🐬

Racionalização → Vigas Com Altura/Inércia Variáveis

 \rightarrow WARDS



Vantagens Principais:

Instalações Não Aumentam a Altura do Pavimento

Altura →20% de Construções Tradicionais

Não Interferência → Inspeção e Reparo dos Serviços

Vigas → Produção Automatizada

→ Padronização/Economia

Redução do Numero de Pilares/Fundações

Redução da Área Protegida Contra Fogo

Facilidade de Execução de Pisos e Forros

Menos Peças na Montagem

Simplicidade de Dimensionamento

Teste em Escala Real

Viga Mista com Inércia Variável → 15 Metros de Vão

Carga De Serviço →Flambagem da Alma (5mm)

Carga de Ruína \rightarrow 2 X Carga de Serviço Prevista

Teste Dinâmico da Estrutura

→ Frequência de Vibração: 5.32 Hz

→ Amortecimento de 2.5 a 4.5%

Particularidades → **Maior Profundidade**:

Construções Contínuas

- Momentos Negativos → Armaduras
 - → Flambagem Lateral
- Interação Cisalhamento X Flexão

Construções Simplesmente Apoiadas

- Localização de Rótulas Plásticas
- Efeitos de Imperfeições e Tensões Residuais
- Vibrações
- Interação Parcial
- Flambagem da Alma → Estudo Detalhado pelo Autor

4. FLAMBAGEM DE ALMA EM VIGAS MISTAS COM INÉRCIA VARIÁVEL

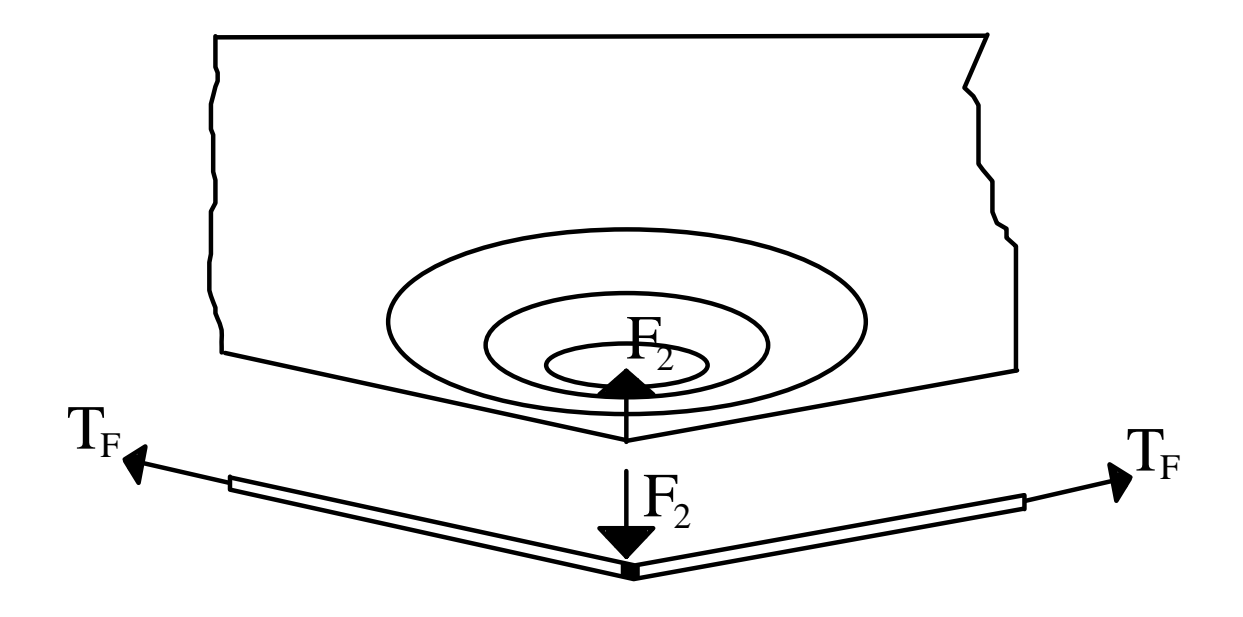
Flambagem → Mudança de Direção nas Mesas Objetivos:

Identificação/Avaliação de Parâmetros:

Regra Simples de Projeto → Prever a Flambagem

Soluções Convencionais → Flambagem Lateral Soluções Mistas → Restrição Lateral → Laje

Flambagem → Modelo Simples → Equilíbrio



Solução Convencional → Enrijecedores→ Alto Custo

Revisão Bibliográfica → Inexistência de Trabalhos

Diferença Fundamental em Termos de Comportamento

Patch Load X Flambagem Vertical da Alma

Aumento da Carga Crítica de Compressão da Alma

Investigação Experimental

Metade da Escala Real

Concreto → **Mesa Superior** + **Espessa**

Seis Testes Foram Realizados

Primeira Série: Espessuras de alma 3, 5 e 7 Milímetros

Vigas 5 e 7mm (h/ t_W = 93, 130) \rightarrow Rótula Plástica

→ Menor Inércia

Viga com 3mm (h/t_W = 217) \rightarrow Flambagem

→ Redução Carga Última

Segunda Série: → Linha Neutra Plástica

Linha Neutra Plástica:

Vigas 1 a 3 → Próximo a Mesa Superior

Vigas 4 e 5 \rightarrow Alma (h/3.8, h/2.2)

Viga $6 \rightarrow Mesa Inferior$

Viga 4 → Rótula Plástica → Menor Inércia

Vigas 5 e 6 → Flambagem Plástica da Mesa → Redução na Capacidade Última

Viga 6 → Fase Construtivas → Viga Não Escorada → Não Ocorre Flambagem

Linha Neutra Plástica \rightarrow Pequena Influência

Análise Não-Linear Física e Geométrica

Método dos Elementos Finitos

Modelo Calibrado com Laboratório

Análise Numérica Previu:

Forma de Colapso Deformadas Distribuição De Tensões Carga Última

Primeira Fase → Enrijecedores Vigas < 4mm de Alma

Enrijecedores Foram Necessários na Segunda Série

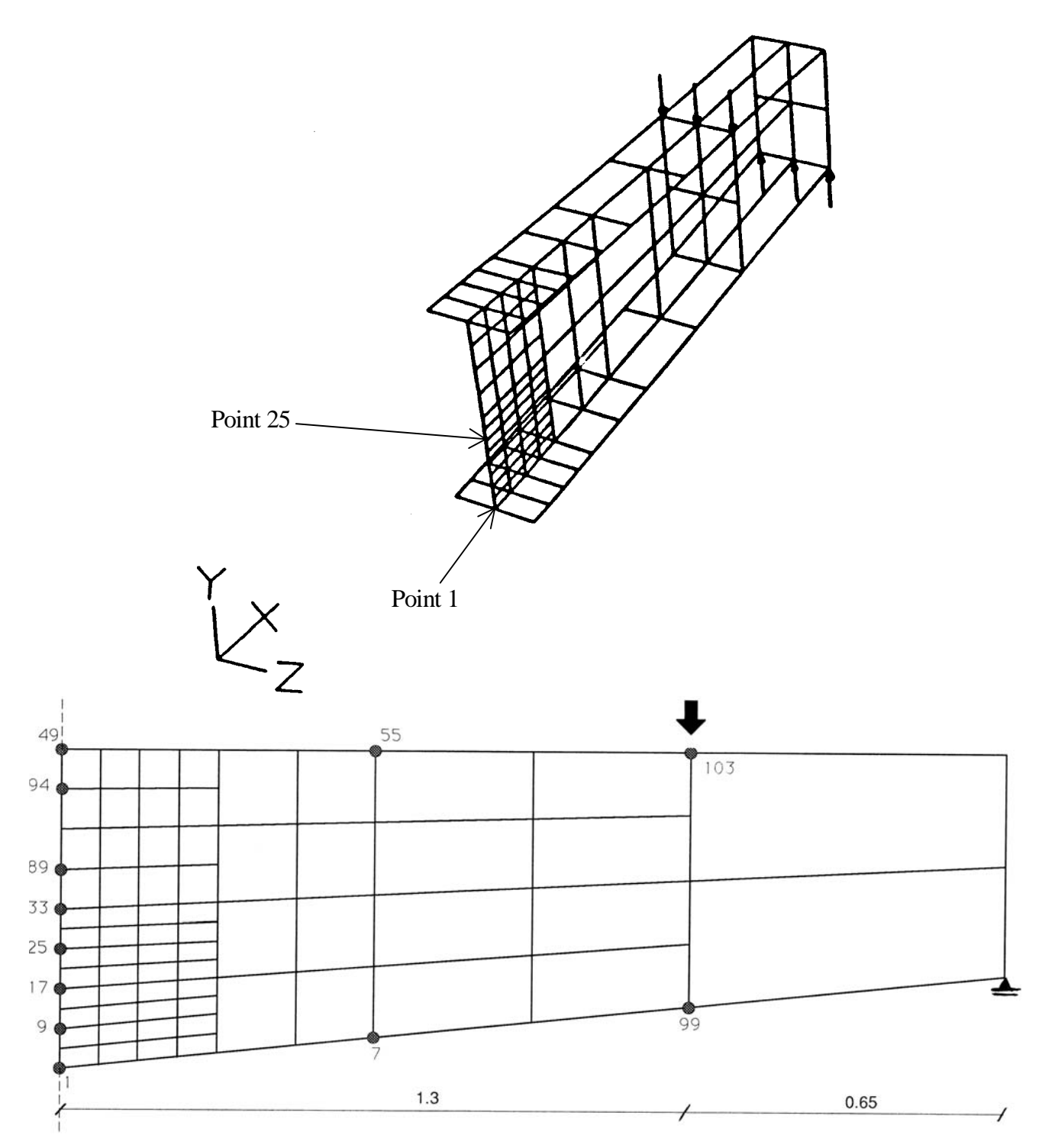


Figure 3. Finite element mesh.

Influence of the Angle of Taper and Web Thickness

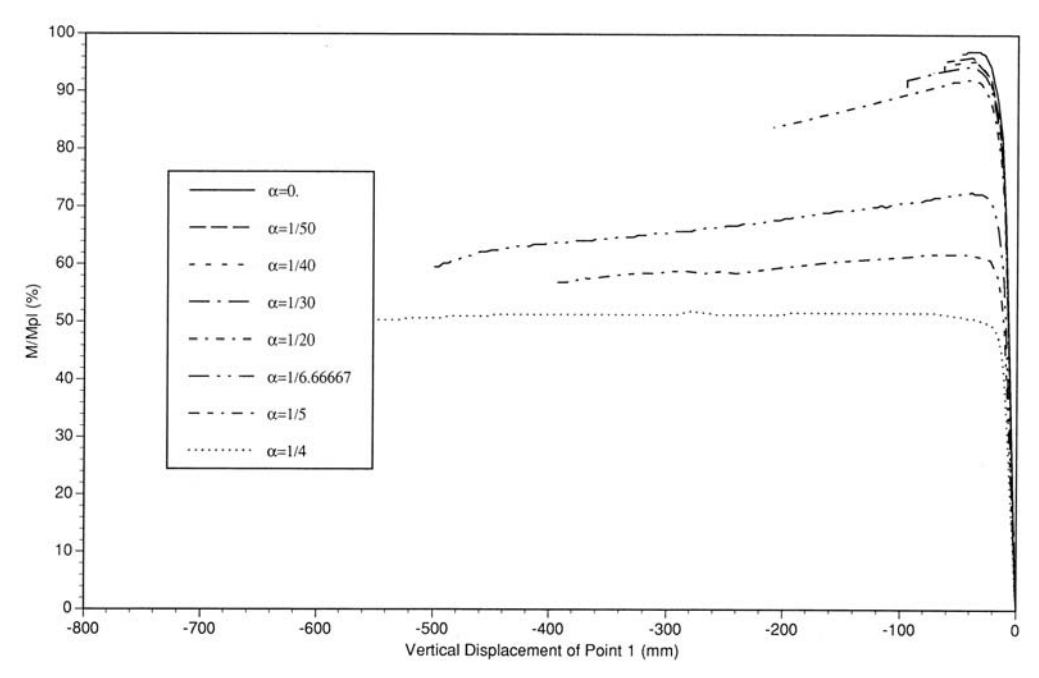
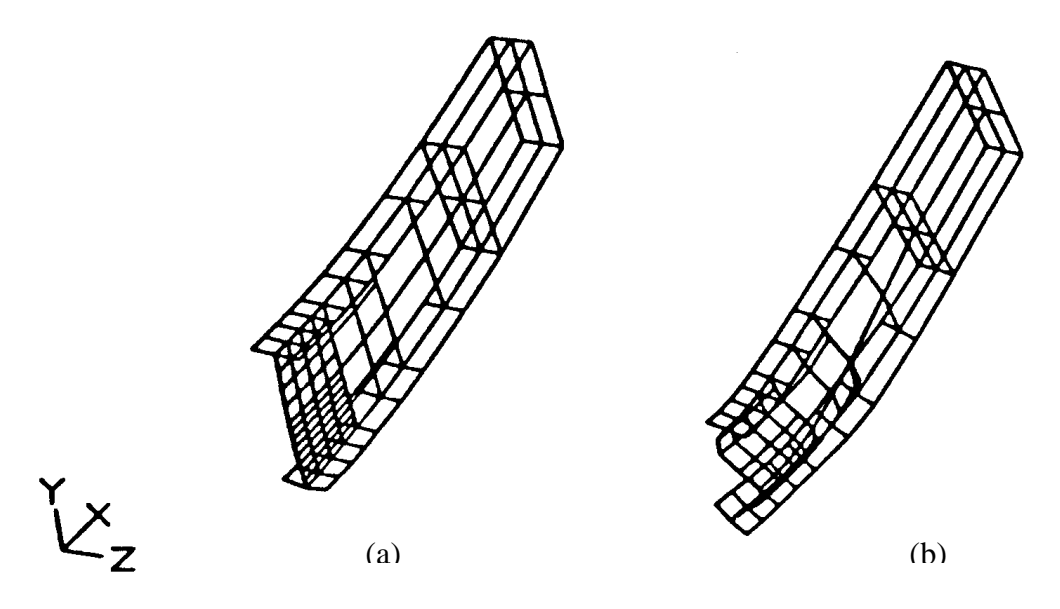


Figure 5. Vertical displacement comparison, point 1. 7mm



Figures 6.a, 6.b. Deformed configurations of the beam with $\alpha = 1.15^{\circ}(1/50)$ at ultimate and last loading stages.

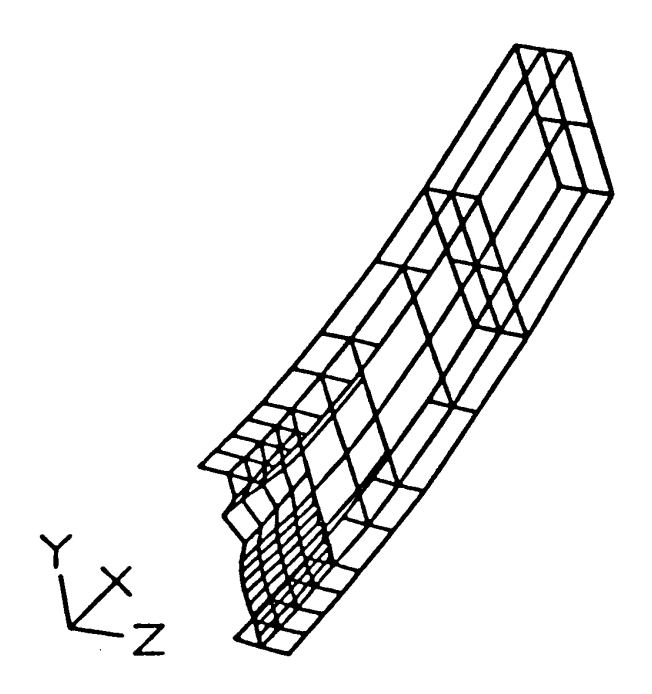


Figure 8. Deformed configuration of the beam with $\alpha=0^{\circ}.$

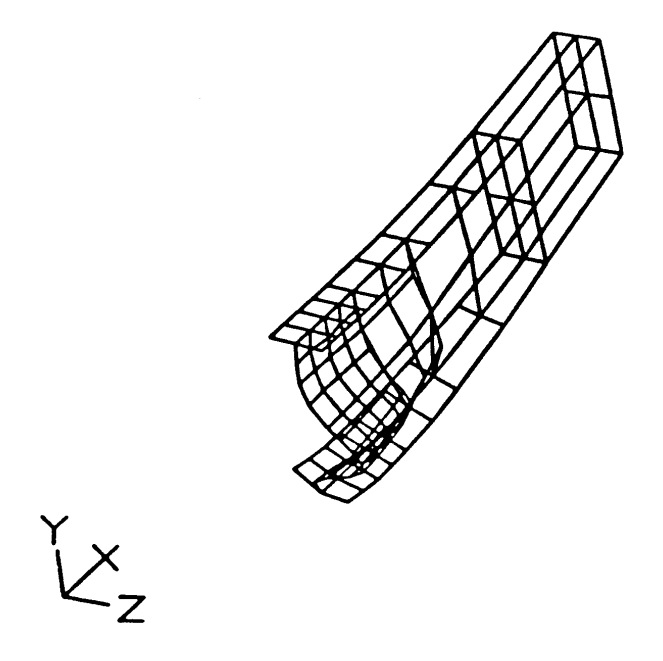
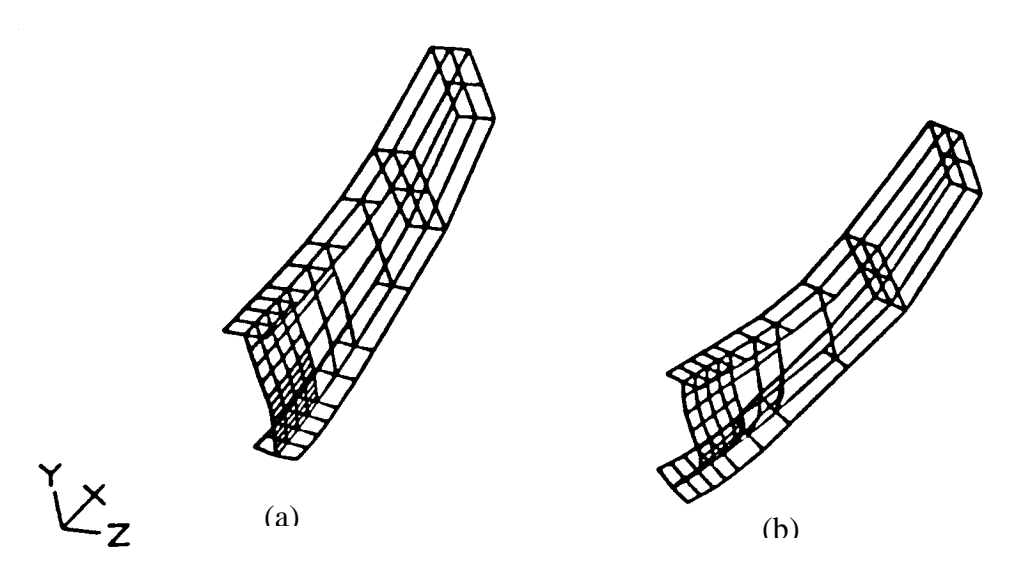


Figure 9. Deformed configuration of the beam with $\alpha = 2.86^{\circ}$ (1/20).

Table 1. First Series Final Loads (% Central \mathbf{M}_{pl}).

Taper Angle/	0°	1.15°	1.43°	1.91°	2.86°	8.53°	11.31°	14.84°
Web Thickness	$\alpha=0$	$\alpha = 1/50$	$\alpha = 1/40$	$\alpha = 1/30$	$\alpha = 1/20$	$\alpha = 1/6.67$	$\alpha=1/5$	$\alpha=1/4$
3mm	95.53	-	93.31	-	88.79	60.57	49.16	38.14
5mm	95.40	94.03	93.37	-	90.02	70.68	60.04	49.53
7mm	97.14	96.25	95.56	94.54	92.20	72.64	61.93	51.68
10mm	97.50	96.22	96.04	95.17	93.05	73.99	63.26	55.36

Influence of the Tension Flange Area



Figures 13.a, 13.b. Deformed configurations of the beam with $t_{\rm W}$ = 7mm at penultimate and last loading stages.

Table 2. Second Series Final Loads (% Central $\mathbf{M}_{pl}).$

Web Thickness/ Bottom Flange Area	3mm	5mm	7mm	10mm
3000mm ²	85.95	88.30	90.40	91.45
6250mm ²	50.99	54.67	56.30	56.41

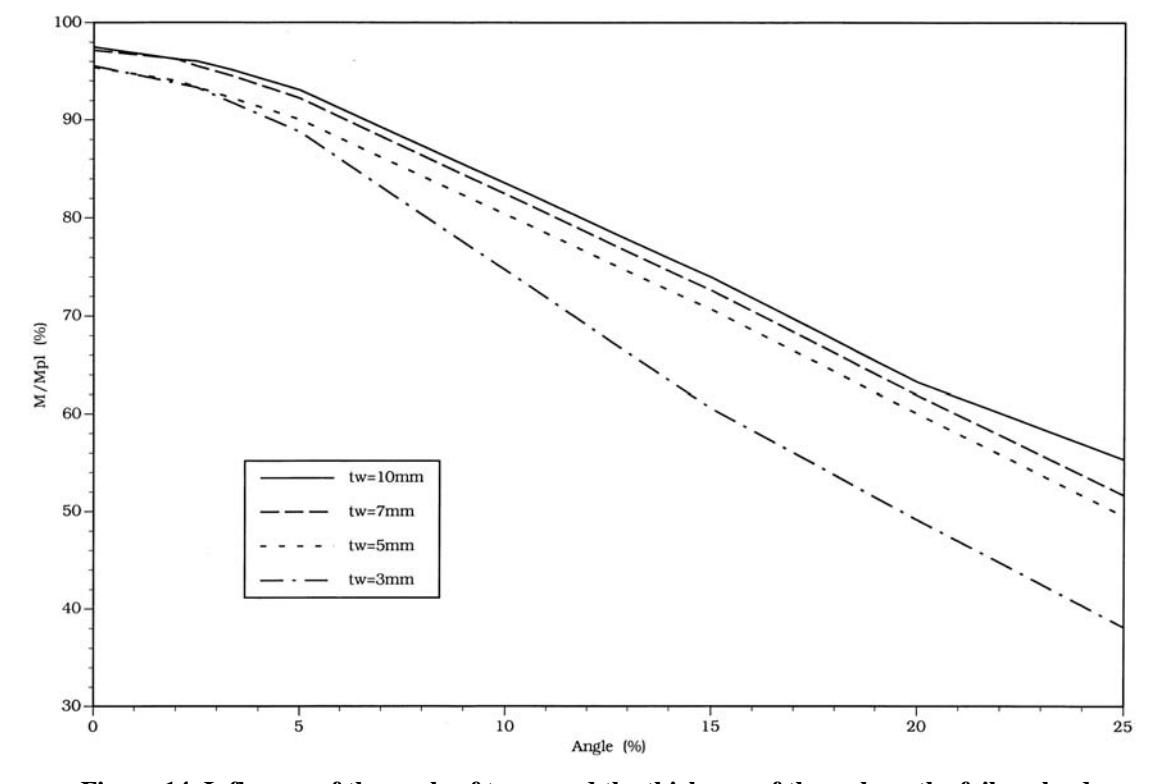


Figure 14. Influence of the angle of taper and the thickness of the web on the failure load.

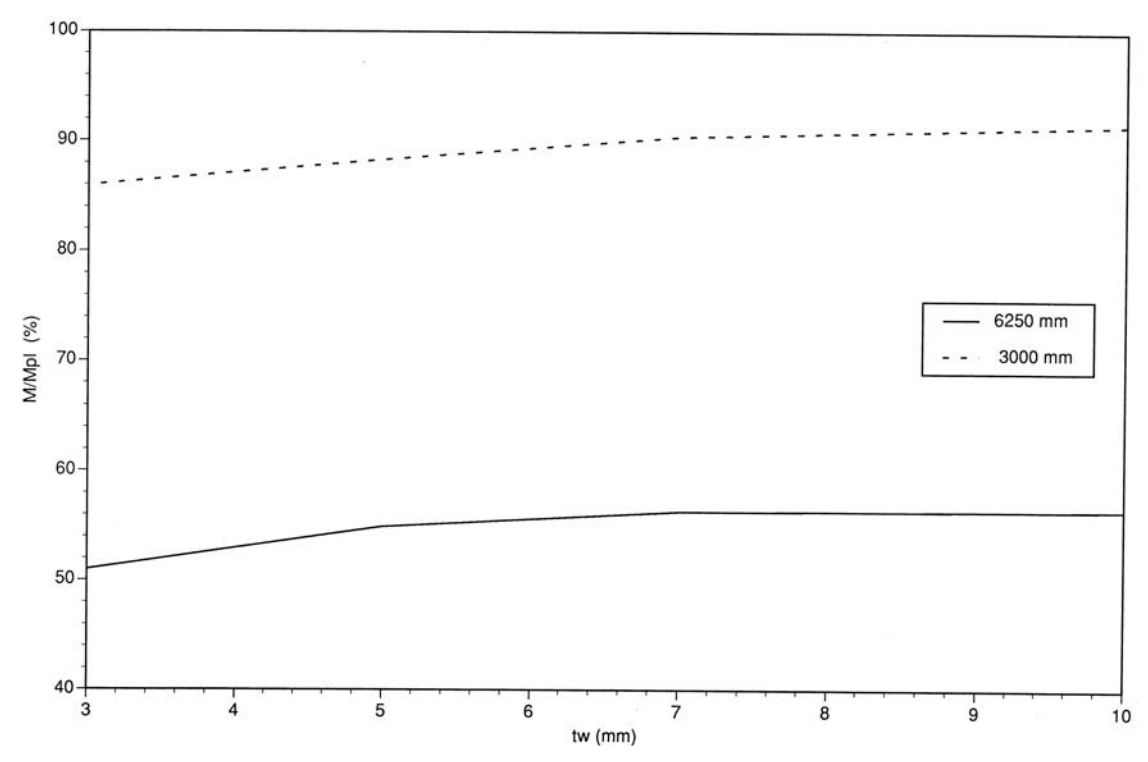


Figure 15. Influence of the area of the bottom flange on the failure load.

Análise Paramétrica → Modelo Calibrado Análise:

Ângulo de Inclinação da Mesa Inferior Espessura da Alma Área da Mesa Tracionada

Obteve-se:

Momento X Rotação Momentos Máximos Mecanismos de Colapso

Conclui-se

Ângulo e Área do Flange Tracionado tem Influência Flambagem Vertical da Alma um Caso

 \rightarrow h/t_w <155

→ 7mm de Alma

 \rightarrow Ângulo = 14.84°

Ângulos Elevados São Raros na Prática

Modelo de Dimensionamento → **Prever Flambagem**

Revisão Normas Vigas de Inércia Constante Normas Britânicas BS5950, BS5400 Norma Americana AISC-LFRD Norma Europeia Eurocode 3

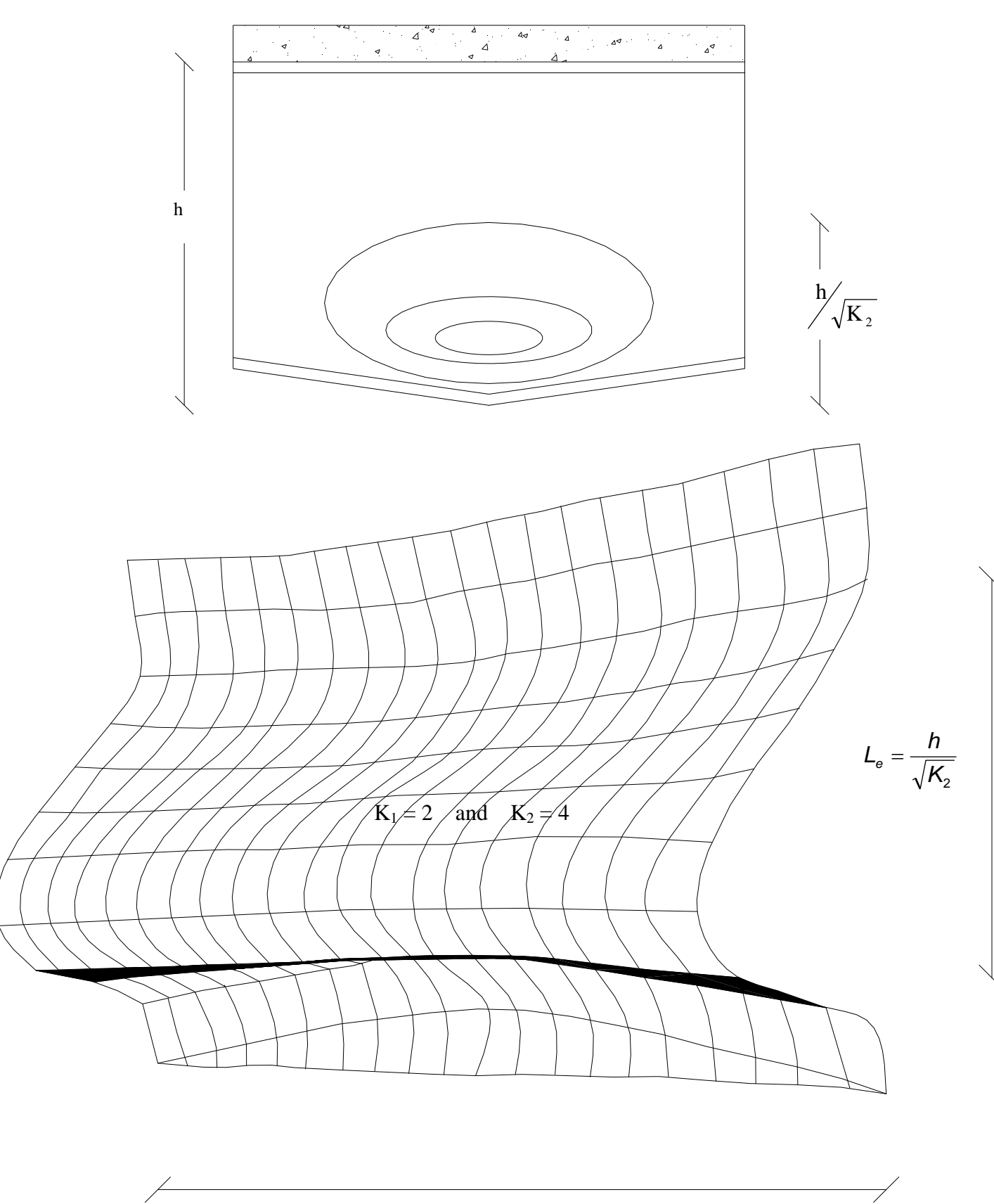
Não Avaliam Flambagem em Vigas de Inércia Variável

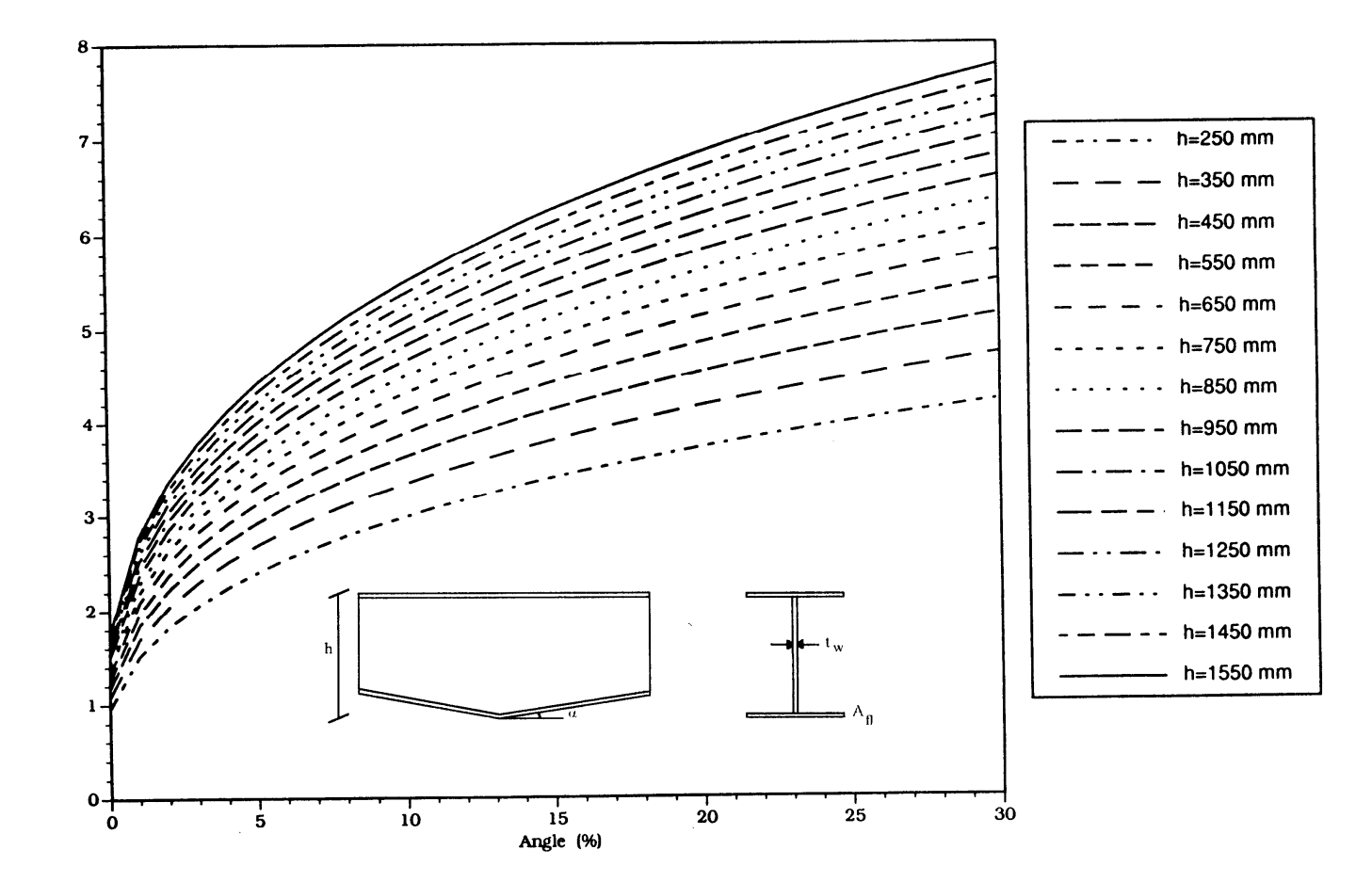
Modelo Teórico → Espessura Mínima

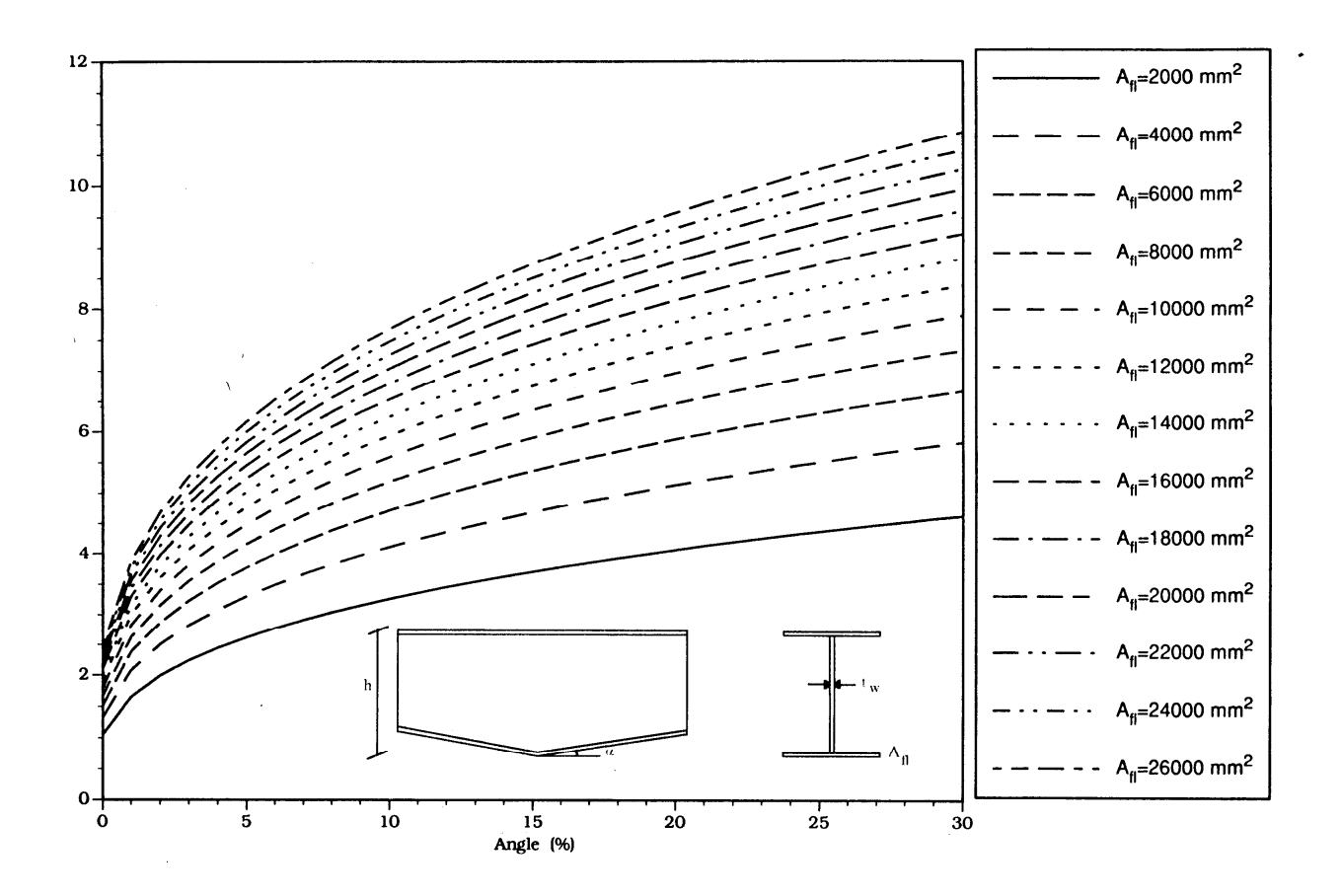
$$t_{w} = \sqrt[3]{\frac{0.553\sigma_{y}^{fl}b_{f}t_{f}h}{205000}} x \left| \frac{1.3\sigma_{y}^{fl}}{205000} + \frac{\sin\alpha}{2} \right| ; \sigma_{y}^{fl} \text{ em MPa}$$

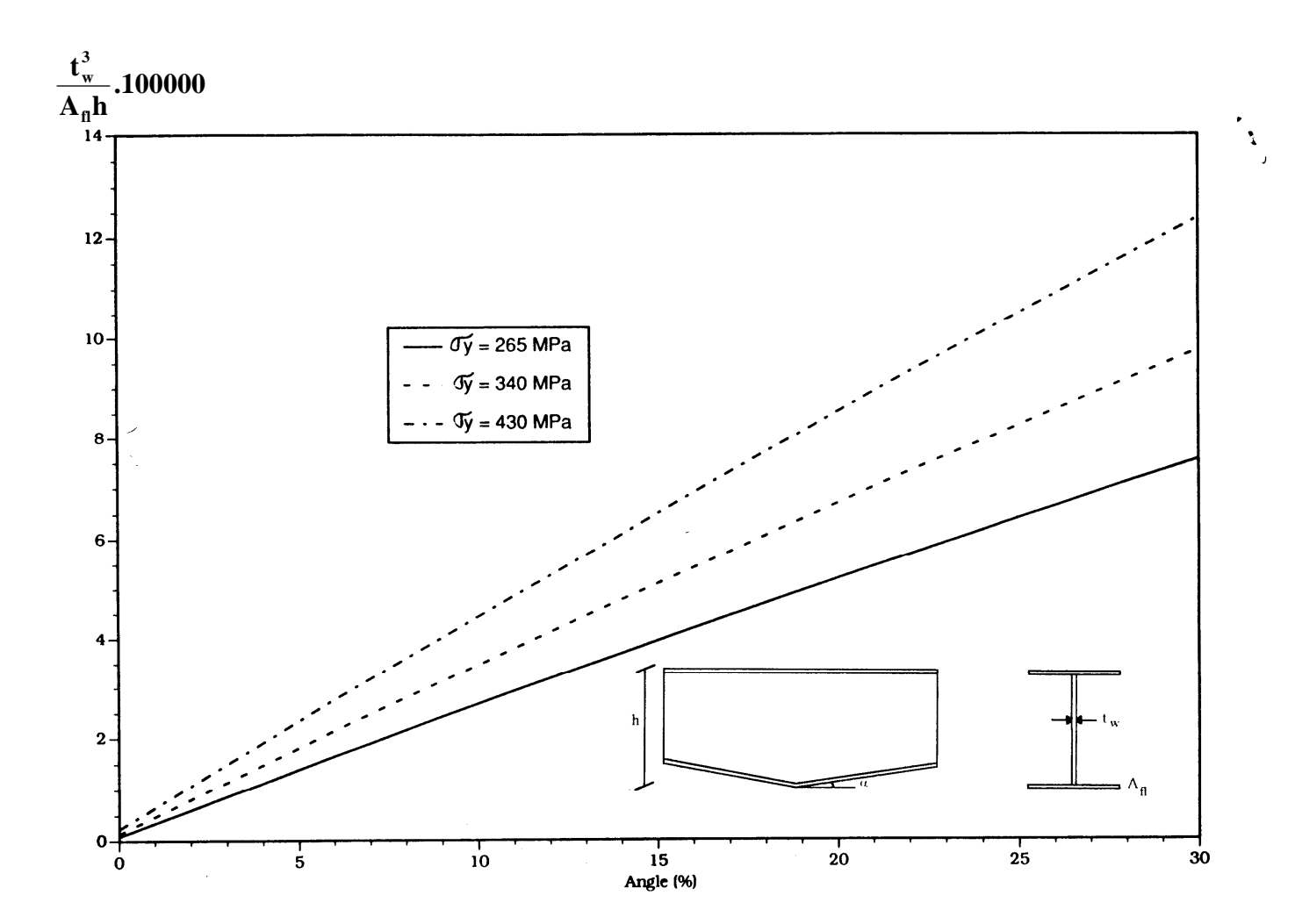
Modelo \rightarrow Bons Resultados

→ Experimentais/Análise Paramétrica









5. EXEMPLO

Grã-Bretanha:

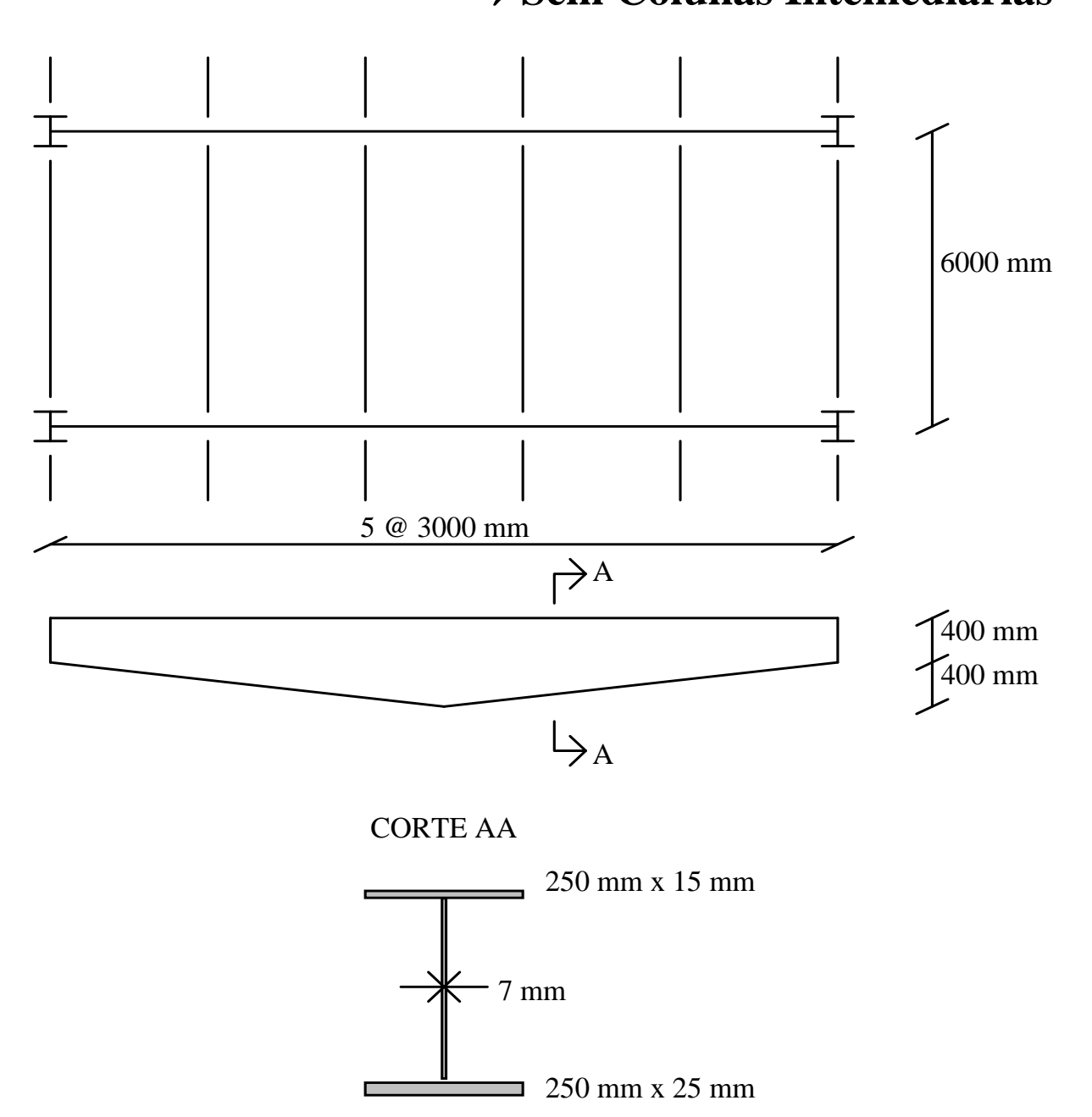
Largura Efetiva → Varia Linearmente

→ Distribuição de Conectores

→ Valor Máximo → 1/5 do Vão

Módulos de Elasticidade Aço/Concreto = 10

Pavimento Estudado → Módulos: 6m X 15m → Sem Colunas Intemediárias



CONSIDERAÇÕES INICIAIS

Aço do Perfil: AR-345 $F_y = 345MPa$, $F_u = 450 MPa$

Resistência Característica do Concreto: $F_{ck} = 30 \text{ MPa}$

Espessura da Laje 69 mm Acima do Deck-Metálico

Deck-Metálico "Super Holorib" 1.2 mm Espessura 51mm Altura

AVALIAÇÃO DAS CARGAS NO PAVIMENTO

Antes da Pega do Concreto

Ações Permanentes:

Densidade do Concreto Fresco 18.8 kN/m³ Deck-Metálico 0.174 kPa Armação da Laje 0.040 kPa

Ações Variáveis

Sobrecarga 0.500 kPa

Após a Pega do Concreto

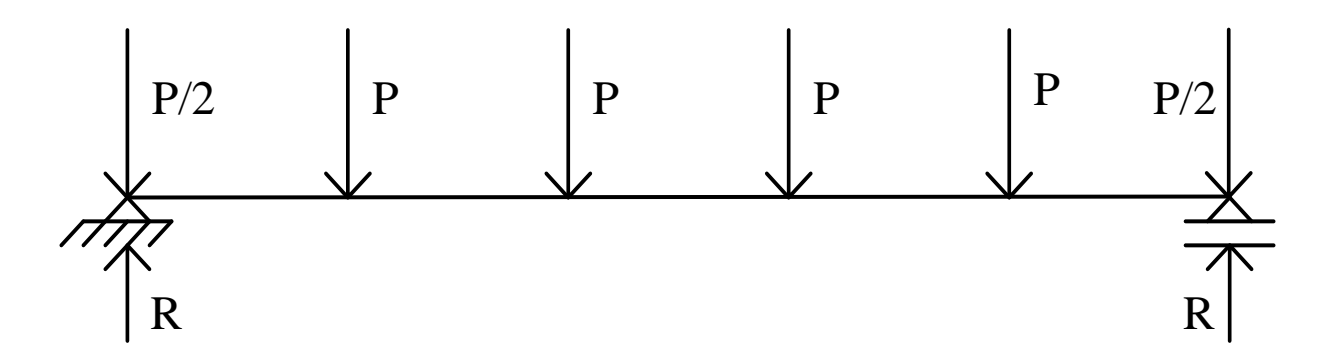
Ações Permanentes:

Densidade do Concreto Seco 17.6 kN/m³
Serviços e Acabamentos 0.700 kPa
Divisórias 1.000 kPa

Ações Variáveis

Sobrecarga 4.000 kPa

ESQUEMA ESTRUTURAL



30000 mm 30000 mm 30000 mm 30000 mm 30000 mm

COMBINAÇÕES DE CARGA

Antes da Pega do Concreto

$$P_{AT} = 1.3P_{Aperm} + 1.3P_{Avar} = 1.3(7.91 + 9.0) = 21.98kN$$

Depois da Pega do Concreto

 $P_{DT} = 1.4P_{Dperm} + 1.5P_{Dvar} = 1.4x34.4 + 1.5x72 = 156.16kN$

ESFORÇOS MÁXIMOS

$$\mathbf{M_{max}} = 9 \mathbf{P} \qquad \qquad \mathbf{Q_{max}} = 2 \mathbf{P}$$

Antes da Pega do Concreto

$$M_{Amax}$$
 =9x21.98=197.82kNm, Q_{Amax} =2x21.98=43.96kN

Depois da Pega do Concreto

$$M_{Dmax} = 9 \times 156.16 = 1405.44 \text{kNm}$$

 $Q_{Dmax} = 2 \times 156.16 = 312.32 \text{kN}$

PRÉ-DIMENSIONAMENTO

Altura Máxima:

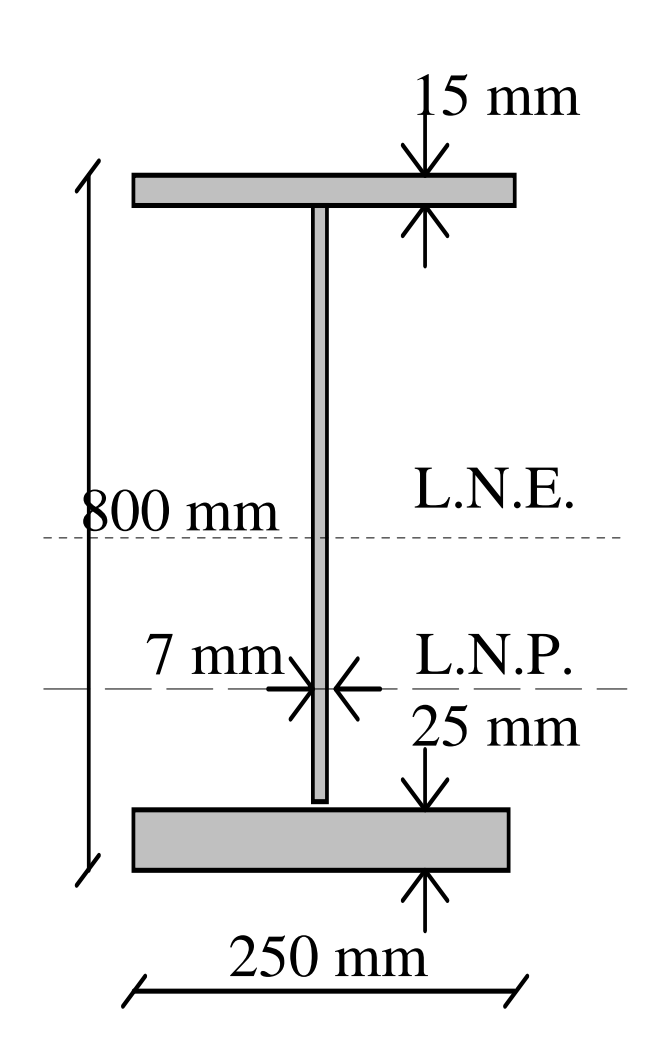
 $h_{max} = L/20 = 15000/20 = 750$, adota-se $h_{max} = 800$ mm

Ângulo de Variação da Altura

 $2(h_{max} - h_{mim})/L = tan(3^{\circ})$:. $h_{mim} = 400mm$

PROPRIEDADES GEOMÉTRICAS DA SEÇÃO

 $\begin{array}{ll} A_s &= 15320mm^2 \\ Y_{lne} &= 460.27mm \\ Y_{lnp} &= 573.57mm \\ I_x &= 1.72E9mm^4 \\ W_{xc} &= 3.73E6mm^3 \\ W_{xt} &= 5.05E6mm^3 \\ I_y &= 5.21E7mm^4 \\ r_x &= 334.79mm \\ r_y &= 58.32mm \\ Z_x &= 4.69E6mm^3 \end{array}$



SEÇÃO DE AÇO NA FASE CONSTRUTIVA

Mesa Comprimida Será Suportada Lateralmente

Flambagem Local da Mesa Comprimida

$$\lambda = \frac{b_f}{2t_f} = 250/15 = 8.34 < \lambda_p = 0.38 \sqrt{\frac{E}{F_y}} = 9$$

Flambagem Local da Alma

$$\lambda = \frac{h}{t_w} = 760/7 = 108.57$$

$$\lambda_{\rm p} = 90.68 < \lambda < \lambda_{\rm r} = 136.51$$

Seção é Semi-Compacta

$$M_{pl} = Z_x F_y = 4.69E + 03 \times 0.345 = 1619.85 \text{kNm}$$

$$M_R = W_x(F_v - F_t) = 3.73E + 03(0.345 - 0.115) = 857.90kNm$$

$$M_n = M_{pl} - (M_{pl} - M_t) \frac{\lambda - \lambda_p}{\lambda_r - \lambda_p} = 1322.42 \text{ kNm}$$

$$M_R = \phi M_n = 0.9 \times 1322.42 = 1190.18 > M_{Amax} = 197.82 \text{kNm}$$

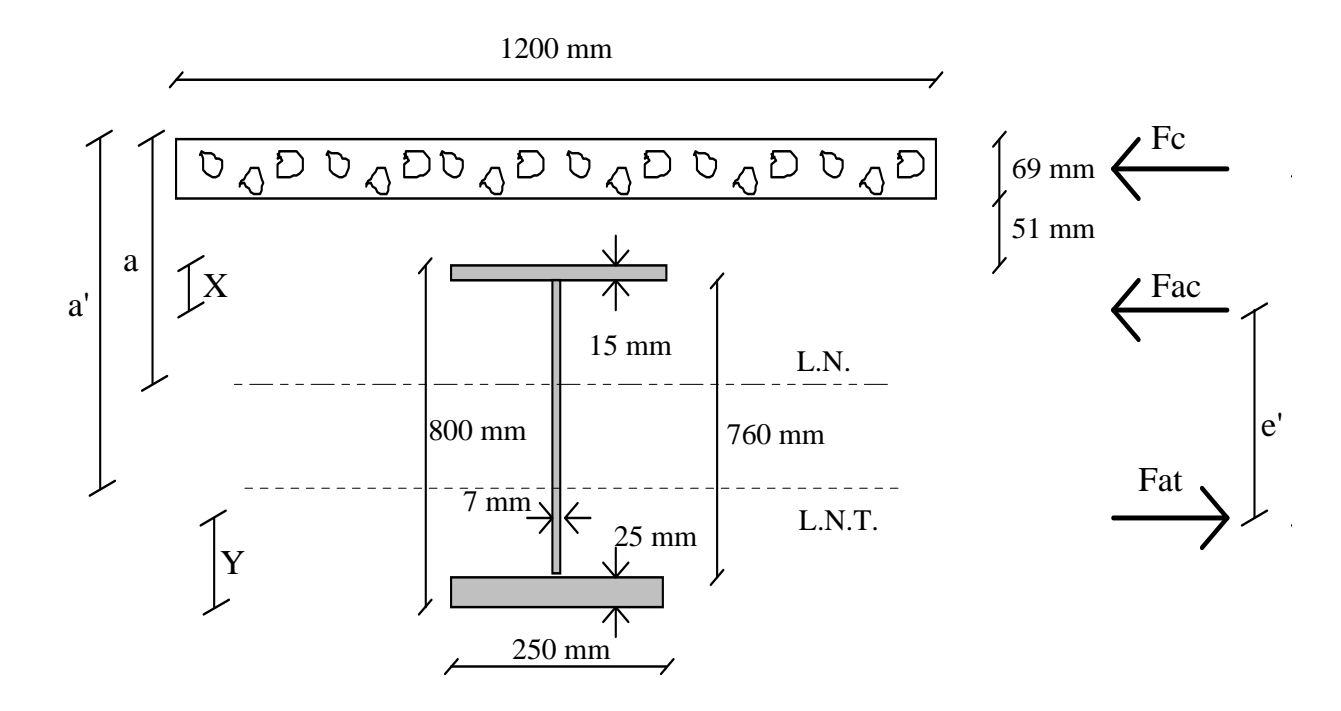
$$M_R/M_{Amax} = 6.01$$

DIMENSIONAMENTO DA VIGA MISTA

RESISTÊNCIA A FLEXÃO DIVERSAS SEÇÕES

Seção	X	h	bef	As	LNE	LNP	Ix	WXC	Zx	a	Mda	Md	Mr	Mr/Md	Od	VR	VID (OD	C-	6.10
Jnidades	(mm)	(mm)	(mm)	(mm2)	(mm)	(mm)	(mm4)	(mm3)	(mm3)	(mm)	(kNm)	(kNm)	(kNm)				VR/QD	Ss	Ss/Smax
1	0	400	0	12520	234.9361	373.57143	371081282	1579498.8		200	0	0		ADIM	(kN)	(kN)	ADIM	(kN/mm2)	ADIM
2	750	440	300	12800			457783854		2163035.7	145.0375	32.97		490.43437	NA	312.32	469.476	1.503189	0	0
3	1500	480	600	13080	TAKE STATE OF THE PARTY OF THE		554501064				- D. COMESSE, GUNDAN	234.24	794.84176		312.32	521.64	1.67021	-	0.2531792
4	2250	520	900	13360			661471082			143.28409	65.94	468.48	963.68742		312.32	555.35502	COURT OF STREET	I the belief to be be be belief to be	
5	3000	560	1200	13640	326 31065	453.57143	778930913	2297010.1	2086235.7	141.82292	98.91	702.72	1142.7968		312.32	555.35502	1.7781603	0.2184874	0.7036633
6	3750	600	1500	13920	348 87031	433.37143	007116517				131.88	936.96	1331.9946	1.4216131	312.32	555.35502	1.7781603	0.2728639	0.8787889
7	4500	640	1800				907116517			139.52679	148.365	1054.08	1531.1215	1.4525667	156.16			0.2861109	
8	5250	200000000000000000000000000000000000000		14200	3/1.33803	493.57143	1.046E+09	2817548.5	3513035.7	138.60833	164.85	1171.2	1740.0338	1.4856846	156.16			0.2959265	
		680	2100	14480			1.197E+09			134.68	181.335	1288.32	1942.921	1.5081043	156.16			0.3031999	
9	6000	720	2400	14760			1.358E+09			133.2	197.82	1405.44		1.5009621	156.16			0.3085573	
10	6750	760	2700	15040	438.16489	553.57143	1.532E+09	3495954.8	4390235.7	131.72	197.82	1405.44	2279.2409	SECOND STREET, ST. ST. ST. ST. ST.	0	420.44383	NA	0.3083373	
11	7500	800	3000	15320	460.27415	573.57143	1.717E+09	3730664.7	4693835.7	130.24	197.82	1405.44	2452.1072		0	398.31521	2000		
12	8250	760	2700	15040	438.16489	553.57143	1.532E+09	3495954.8	4390235.7	131.72	197.82	1405.44	2279.2409		0			0.2701703	
13	9000	720	2400	14760	415.97561	533.57143	1.358E+09	3265513.5	4092235.7	133.2	197.82	1405.44				420.44383	NA	0.2884132	
14	9750	680	2100	14480	393.70166	513.57143	1.197E+09	3039368 1	3700835 7	134.68	181.335		2109.5122		156.16			0.3085573	
15	10500	640	1800	14200	371.33803	493 57143	1.046E+09	2817548 5	3513035.7	138.60833		1288.32	1942.921		156.16			0.3031999	
16	11250	600	1500	13920	348.87931	473 57143	907116517	26000860	2221025.7	130.00633	164.85	1171.2	1740.0338		156.16			0.2959265	
17	12000	560	1200	13640	326.31965	453.57143	779020012	2207010.1	3231833.7	139.52679	148.365	1054.08	1531.1215		156.16			0.2861109	
18	12750	520	900	13360	202 (5260	422.57143	((1471002	236/018.1	2956235.7	140.58654	131.88	936.96	1331.9946		312.32	555.35502	1.7781603	0.2728639	0.8787889
19	13500	480	600	-	303.65269	433.3/143	6614/1082	21/8380.4	2686235.7	141.82292	98.91	702.72	1142.7968	1.6262478	312.32	555.35502			
				13080	280.87156	413.5/143	554501064	1974215.8		143.28409	65.94	468.48	963.68742	2.0570514	312.32			0.1535699	
20	14250	440	300	12800	257.96875	393.57143	457783854	1774571	2163035.7	145.0375	32.97	234.24	794.84176	3.3932794	312.32	521.64		0.0786121	
21	15000	400	0	12520	234.9361	373.57143	371081282	1579498.8	1909835.7	200	0	0	490.43437		312.32	469.476	1.503189	0.0780121	0.2331/92

Dimensionamento Completo, Seção Central 11



Cálculo da Posição da Linha Neutra

$$X = \frac{\phi A_s F_y - 0.88 \phi_c b_{ef} t_c F_{ck}}{4 \phi b_f F_y} = 5.12 \text{mm}$$

Linha Neutra na Mesa Superior

$$a = 2 X + 120 = 130.24 mm$$

Forças de Compressão: Concreto e Mesa do Perfil

$$F_c = 0.85 \ \phi_c \ b_{ef} \ t_c \ F_{ck} = 3167.1 \text{kN}$$

$$F_{mc} = 2 \phi b_f X F_y = 794.88kN$$

$$e = 800 + 120 - 69 / 2 - 248.41 = 697.09 mm$$

$$e' = 800 - 10.24 - 248.41 = 46.47 \,\mathrm{mm}$$

RESISTÊNCIA A FLEXÃO

$$M_R = F_c e + F_{mc} e' = 2452.11 KNm$$
 $M_R = 2452.17 > M_{Dmax} = 1405.44$
 $M_R / M_{Dmax} = 1.75$

LIMITE DE TENSÃO NA MESA INFERIOR

$$\frac{M_{Amax}}{W_{xc}} + \frac{|M_{Dmax} - M_{Amax}|}{W_{x}^{Tr}} = \frac{197.82}{5.05E + 03} + \frac{|1405.44 - 197.82|}{5.20E + 03} = \frac{0.27 \text{kN} / \text{mm}^2}{0.9 \text{Fy}} = \frac{0.311 \text{kN} / \text{mm}^2}{0.27 \text{kN}}$$

RESISTÊNCIA AO ESFORÇO CORTANTE

NÚMERO DE CONECTORES

FLECHAS NA VIGA MISTA

6. - CONCLUSÕES

- Sistemas Estruturais Mistos com Inércia Variável são os mais Economicamente Viáveis Boa Flexibilidade → Acomodação de Serviços Pequenas Razões Vão/Altura do Pavimento Baixas Densidades de Aço/Área de Pavimento Menor Custo de Fabricação e Montagem
- Flambagem Vertical da Alma
- Enrijecedores Só em Situações Extremas
- Casos Práticos Não Requerem Enrijecedores
- Aumentar a Espessura da Alma para Evitar Flambagem é o Modo mais Econômico
- Alternativamente, um enrijecedor com 1/3 Terço da Altura do Perfil Deve Ser Soldado em Ambas as Faces da Alma
- Dimensionamento do Enrijecedor → de Apoio
- Força de Projeto → Componente Vertical